

Isolation, Characterization and Cellular Uptake of Exosomes Derived from Bone Marrow Mesenchymal Stem Cells

Katayoon Pakravan¹, Sadegh Babashah^{2*}, Mohammad Javan³, Majid Sadeghizadeh⁴, Seyed Javad Mowla⁴

1- M.Sc. Student, Department of Molecular Genetics, Faculty of Biological Sciences, Tarbiat Modares University, Tehran, Iran

2- Assistant Professor, Department of Molecular Genetics, Faculty of Biological Sciences, Tarbiat Modares University, Tehran, Iran

3- Professor, Department of Physiology, School of Medical Sciences, Tarbiat Modares University, Tehran, Iran

4- Professor, Department of Molecular Genetics, Faculty of Biological Sciences, Tarbiat Modares University, Tehran, Iran

*Corresponding Address: Postal Code: 1411713116, Department of Molecular Genetics, Faculty of Biological Sciences, Tarbiat Modares University, Tehran, Iran
Email: babashah@modares.ac.ir

Received: 29/Nov/2016, Accepted: 11/Jan/2017

Abstract

Objective: Cell-derived microvesicles are described as a new mechanism for cell-to-cell communication. Stem cell-derived exosomes have been described as a new mechanism for the paracrine effects of mesenchymal stem cells (MSCs). In this regard, exosomes may play a relevant role in the intercellular communication between MSCs and tumor cells.

Methods: Exosomes were purified from the conditioned medium of MSCs by differential centrifugation. Exosome size and morphology were examined by scanning electron microscope and sized with dynamic light scattering (DLS). Western blot analysis confirmed the exosomes by using CD9 as a marker. Purified exosomes were labeled with a PKH26 red fluorescent labeling kit. The labeled exosomes were incubated with SKOV3 ovarian tumor cells for 12 h at 37°C, and we used an inverted fluorescence microscope to monitor cellular uptake.

Results: Scanning electron microscopy revealed that the purified MSCs-derived exosomes had a spherical shape with a diameter of approximately 30-100 nm. Exosome size measurement by dynamic light scattering analysis also showed a single bell-shaped size distribution with a peak of ~80 nm. Western blot analysis also demonstrated the presence of CD9 (a representative marker of exosomes) in the purified exosomes. These data confirmed that the vesicles isolated from MSCs-conditioned media were the exosomes based on their size and presence of the protein marker CD9. Fluorescent microscopy showed that PKH26-labeled exosomes could be taken up by SKOV3 tumor cells with high efficiency.

Conclusion: Our approach for isolation, characterization and cellular uptake of exosomes derived from MSCs is valuable and a prerequisite for future studies that intend to discover exosome function in tumor cells. The ability to study the biology of exosome uptake in cancer cells could provide opportunities for functional studies of these natural nanovesicles and their contents in cancer therapy.

Keywords: Mesenchymal stem cells, Exosomes, Differential centrifugation, Cellular uptake, Tumor cells

Pathobiology Research, Vol. 19 (2016-2017), No.3, Pages: 17-31

جداسازی، تأیید هویت و بررسی قابلیت جذب سلولی اگزوژوم‌های مشتق از سلول‌های بنیادی مزانشیمی مغز استخوان انسانی

کتایون پاکروان^۱، صادق باباشاه^{۲*}، محمد جوان^۳، مجید صادقی زاده^۴، سید جواد مولی^۵

۱- دانشجوی کارشناسی ارشد، گروه ژنتیک، دانشکده علوم زیستی، دانشگاه تربیت مدرس، تهران، ایران

۲- استادیار، گروه ژنتیک، دانشکده علوم زیستی، دانشگاه تربیت مدرس، تهران، ایران

۳- استاد، گروه فیزیولوژی، دانشکده علوم پزشکی، دانشگاه تربیت مدرس، تهران، ایران

۴- استاد، گروه ژنتیک، دانشکده علوم زیستی، دانشگاه تربیت مدرس، تهران، ایران

*آدرس نویسنده مسئول: ایران، تهران، کلدپستی: ۴۱۱۷۱۳۱۱۶ دانشگاه تربیت مدرس، دانشکده علوم زیستی، گروه ژنتیک

Email: babashah@modares.ac.ir

پذیرش مقاله: ۹۵/۱۰/۲۲

دریافت مقاله: ۹۵/۰۹/۰۹

چکیده

هدف: میکروژیکولهای مشتق از سلول به عنوان مکانیسمی نوین در زمینه ارتباطات سلول-سلول شناخته می‌شوند. اگزوژوم‌های مشتق از سلول‌های بنیادی مزانشیمی به عنوان مکانیسمی نوین در زمینه عملکرد پاراکراین سلول‌های بنیادی مزانشیمی قلمداد می‌شوند. در این راستا، اگزوژوم‌ها نقشی مهم در ارتباطات بین سلولی مابین سلول‌های بنیادی مزانشیمی و سلول‌های توموری بر عهده دارند.

مواد و روش‌ها: اگزوژوم‌ها از محیط کشت سلول‌های بنیادی مزانشیمی توسط سانتریفوژ افتراقی تخلیص شد. اندازه و شکل ظاهری اگزوژوم‌های مشتق از سلول‌های بنیادی مزانشیمی توسط میکروسکوپ الکترونی نگاره بررسی شد. همچنین، اندازه اگزوژوم‌ها توسط تفرق دینامیکی نور سنجیده شد. آنالیز وسترن بلاط برای نشانگر اگزوژومی CD9 انجام شد. اگزوژوم‌های تخلیص شده با رنگ فلورستن PKH نشان دار شد. سلول‌های توموری تخدمان SKOV3 با اگزوژوم‌های نشان دار شده تیمار و جذب سلولی توسط میکروسکوپ فلورستن بررسی شد.

نتایج: میکروسکوپ الکترونی نگاره نشان داد که اگزوژوم‌های مشتق از سلول‌های بنیادی مزانشیمی دارای شکلی کروی با قطر مابین ۳۰ الی ۱۰۰ نانومتر است. همچنین اندازه اگزوژوم‌ها توسط سنجش فرق دینامیکی نور توزیع اندازه زنگوله‌ای شکل با بیشینه فراوانی ۸۰ نانومتر را نشان داد. آنالیز وسترن بلاط بین بیان CD9 (نشانگر ویژه اگزوژومی) در اگزوژوم‌های تخلیص شده را نشان داد. همچنین بررسی میکروسکوپ فلورستن نشان داد که اگزوژوم‌های نشان دار شده با رنگ PKH26 می‌تواند توسط سلول‌های توموری SKOV3 با کارآمدی بالا جذب شود.

نتیجه گیری: روش ارایه شده در زمینه جداسازی اگزوژوم‌ها از سلول‌های بنیادی مزانشیمی و تأیید ماهیت و جذب آن‌ها توسط سلول‌های توموری، گامی مهم و پیش نیاز در زمینه درک عملکرد اگزوژوم‌ها در سلول‌های توموری برای مطالعات آینده است. بدینه است توانایی در مطالعه زیستی جذب اگزوژوم‌ها توسط سلول‌های سرطانی فرصت‌های جدیدی در زمینه بررسی‌های عملکردی این نانوزیکولهای طبیعی و محتویات آن‌ها در زمینه درمان سرطان فراهم می‌آورد.

کلیدواژگان: سلول‌های بنیادی مزانشیمی، اگزوژوم، سانتریفوژ افتراقی، جذب سلولی، سلول‌های توموری

پژوهش‌های آسیب شناسی زیستی، دوره ۱۹، شماره ۳، پاییز ۱۳۹۵، صفحات: ۱۷-۳۱

و دامنه وسیعی از فعالیت‌ها را در سلول‌پذیرنده انجام می‌دهند [۵-۷]. اگرزووم‌ها دستهٔ ویژه‌ای از وزیکول‌های کوچک ترشحی با منشأ اندوزومی هستند که توسط بسیاری از انواع سلولی از جمله سلول‌های بنیادی مزانشیمی ترشح می‌شوند [۸]. اگرزووم‌ها دارای ویژگی‌های ساختاری و ظاهری می‌باشند و می‌توان آن‌ها را ذراتی کروی شکل با دو لایهٔ لیپیدی نامید که اندازه‌ای بین ۳۰ الی ۱۰۰ نانومتر و چگالی شناور (Floating density) ۱/۱ الی ۱/۲۱ گرم/میلی‌لیتر در شب غلظت سوکروز دارند. اگرزووم‌ها همچنین دارای پروتئین‌های نشانگری در سطح خود هستند که بازگو کنندهٔ منشأ اندوزومی آن‌ها است (شکل ۱). اگرزووم‌ها دارای نقش‌های متعددی هستند که از مهم‌ترین آن‌ها می‌توان به برقراری ارتباطات سلول-سلول در فواصل نزدیک (میکرومیک‌سکوپی سلول‌ها) و فواصل دور در بدن اشاره کرد. در دهه گذشته علاوه‌نمایی‌های زیادی در زمینهٔ مطالعه عملکرد اگرزووم‌ها ایجاد شده است و مطالعات زیادی اشاره به این نکته دارند که اگرزووم‌ها به عنوان ابزارهای مهم ارتباطات سلول-سلول در فرآیندهای مختلف فیزیولوژیکی و آسیب‌شناختی که از نظر تکاملی حفاظت شده هستند، عمل می‌نمایند. وقایعی نظیر دفع پروتئین‌های زاید، عرضه آتنی‌زن، پاسخ ایمنی، رگ‌زایی، التهاب، متاستاز (Metastasis)، گسترش بیماری‌زها و بسیاری از فعالیت‌های دیگر از جمله نقش‌های این وزیکول‌ها بسته به محتواهای آن‌ها در بدن است [۹، ۱۰].

Shawahd زیادی وجود دارد که سلول‌های بنیادی مزانشیمی به شیوهٔ پاراکراین عمل می‌نمایند و این می‌تواند تأکیدی بر اهمیت عوامل زیستی موجود در محیط کشت شرایطی آن‌ها از جمله اگرزووم‌ها و عوامل محلول باشد. مطالعات مختلف گزارش داده‌اند که اگرزووم‌های مشتق از سلول‌های بنیادی مزانشیمی دارای عملکردهای مشابهی با سلول‌های بنیادی مزانشیمی هستند. این عملکردها شامل ترمیم آسیب بافتی، حمایت از پاسخ‌های التهابی و تعدیل سیستم ایمنی است

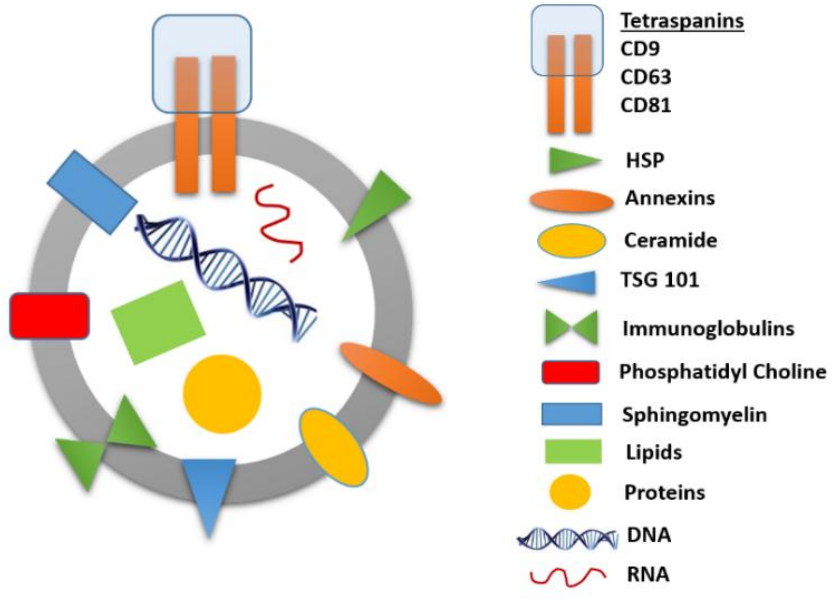
مقدمه

سلول‌های بنیادی از لحاظ منشأ به دو دستهٔ عمده سلول‌های بنیادی جنینی (Embryonic stem cells) و سلول‌های بنیادی بزرگسالان (Adult stem cells) تقسیم‌بندی می‌شوند. از مهم‌ترین سلول‌های بنیادی بزرگسالان که امروزه مورد توجه بسیاری از محققین قرار گرفته است، می‌توان به سلول‌های بنیادی مزانشیمی (Mesenchymal stem cells) اشاره کرد. این سلول‌ها از بافت‌های با منشأ مژودرمی قابل جداسازی هستند و در ترمیم بافت‌هایی نظیر استخوان، غضروف، ماهیچه، تاندون و چربی مشارکت دارند [۱]. طی سال‌های اخیر، سلول‌های بنیادی مزانشیمی به دلیل توانایی لانه گرینی در محل جراحت، التهاب و نئوپلازی (Neoplasia) در زمینهٔ طب بازساختی و اهداف زن درمانی بسیار مورد توجه محققان قرار گرفته‌اند. این سلول‌ها قابلیت مهاجرت به بافت‌های آسیب‌دیده و رهاسازی سایتوکاین‌ها (Cytokines)، میانجی‌های التهابی، ترکیبات ماتریکس خارج سلولی و پروتئین‌های ضد میکروبی را دارند و بنابراین میکرومیک‌سکوپی مناسب برای ترمیم بافت را فراهم می‌کنند [۲]. در این راستا، در سال‌های گذشته، گزارش‌هایی مبنی بر مهاجرت سلول‌های بنیادی مزانشیمی به ریز محیط توموری منتشر شده است. مکانیسم درگیر در جای‌گیری سلول‌های بنیادی مزانشیمی در تومورها با فرآیند مهاجرت و فعال شدن سلول‌های التهابی در فرآیند ترمیم بافت هم‌پوشانی دارد [۳، ۴].

در ارتباطات سلول-سلول، عوامل محلول (Soluble factors) زیادی نظیر کموکاین (Chemokines)، سایتوکاین، عوامل رشد و پروتئین‌های ماتریکس خارج سلولی دخیل هستند. تحقیقات اخیر نشان داده است که سلول‌ها از اشکال دیگری از ارتباطات که شامل میکرووزیکول‌های غشایی شامل نیز استفاده می‌نمایند. میکرووزیکول‌های غشایی شامل مولکول‌های زیستی فعال نظیر اسیدهای نوکلئیک، لیپیدها و پروتئین‌ها هستند که به صورت افقی بین سلول‌ها انتقال یافته

اندازه، شکل ظاهری و بیان نشانگرهای سطحی ویژه اگزوژوم‌ها بررسی می‌شود. در خاتمه، جذب سلولی اگزوژوم‌های نشان‌دار شده با رنگ فلورسنت توسط سلول‌های توموری بررسی می‌شود.

[۱۱، ۱۲]. در این مطالعه، روشی کارآمد مبتنی بر سانتی‌فتوافتراقی در زمینه جداسازی اگزوژوم‌های مشتق از سلول‌های بنیادی مزانشیمی ارایه می‌شود. همچنین به منظور تأیید درستی هویت اگزوژوم‌های مشتق از سلول‌های بنیادی مزانشیمی،



شکل ۱ ساختار و محتوای اگزوژوم‌ها؛ اگزوژوم‌ها مشتمل بر یک دولاپله غشایی لیپیدی (Sphingomyelin)، کلسترول، سرامید (Ceramide)، فسفاتیدیل کولین و فسفاتیدیل اتانولامین (EPA) که یک فضای سیتوزولی کوچک را احاطه دارد، هستند. ساختار لیپیدی اگزوژوم‌ها حاوی پروتئین‌های مختلفی از جمله گیرنده‌ها، تتراسپین‌ها (Tetraspanin)، ایمنوگلوبولین‌ها و غیره هستند. محتوای اگزوژوم‌ها می‌تواند از سلول مبدا به سلول‌های هدف در میکرومحلیط‌شان انتقال یابند.

سلول‌های تک هسته‌ای از نمونه‌های مغز استخوان به کمک فایکول و شستشو، سلول‌ها در فلاسک کشت داده شدند. جمعیت سلول‌های موجود در مغز استخوان شامل جمعیتی از سلول‌های مختلف از جمله سلول‌های خونی، سلول‌های بنیادی خون‌ساز، سلول‌های چربی، سلول‌های بنیادی مزانشیمی و غیره است. با چند بار تعویض محیط کشت در بازه‌های دو الی سه روزه، سلول‌های کروی خارج و تنها سلول‌های بنیادی مزانشیمی چسبنده به کف پلیت باقی مانندند.

مواد و روش‌ها

جداسازی و کشت سلول‌های بنیادی مزانشیمی مغز استخوان

سلول‌های بنیادی مزانشیمی انسانی از آسپریه‌های مغز استخوان شش فرد سالم (با دامنه سنی بین ۲۰ الی ۳۵ سال) پس از اخذ رضایت نامه آگاهانه جداسازی شد. همچنین این مطالعه طی نامه شماره ۵۲۵/۳۷۰۸ مورخ ۱۳۹۴/۰۶/۱۱ به تأیید کمیته اخلاق پزشکی رسیده است. پس از جداسازی

بررسی تنوع ژنتیکی ویروس پاپیلومای انسانی

به منظور تمايز ادیپوژنیک و تأیید تشکیل واکوئل های چربی از سلول های مرحله کشت سلولی سوم استفاده شد. محیط تمايزی چربی برای سلول ها هر ۳ روز یک بار تعویض شد. محیط تمايزی چربی همانند محیط تمايز به استخوان است با این تفاوت که دگراماتازون آن ۱۰-۷ مولار و به جای بتا گلیسرول فسفات از ایندوماتاسین (Indometacin) با غلظت نهایی ۵۰ میکروگرم در میلی لیتر استفاده شد. سلول ها به مدت ۲۱ روز در شرایط رشد نگهداری و در پایان این مدت تمايز با روش رنگ آمیزی Oil Red O ارزیابی شدند.

جداسازی اگزوژوم های مشتق از سلول های بنیادی مزانشیمی

اگزوژوم ها از مایع رویی سلول های بنیادی مزانشیمی مشتق از مغز استخوان در مرحله کشت سلولی سوم توسط سانتریفوژ افتراقی مطابق آنچه پیشتر گزارش شده بود [۱۳] و با انجام تغییراتی محدود جدا شد. برای جداسازی اگزوژوم های مشتق از سلول های بنیادی مزانشیمی و اجتناب از آلودگی با اگزوژوم های موجود در FBS سلول ها به مدت ۷۲ ساعت پیش از برداشت مایع رویی سلولی در BSA ۱ درصد نگهداری شدند. Bovine serum albumin (آلبومین بولوین) به طور خلاصه، مایع رویی سلولی جمع آوری شده، به منظور حذف سلول های باقیمانده موجود در آن به مدت ۱۰ دقیقه در دور ۳۰۰۰xg سانتریفوژ شد. همچنین به منظور حذف سلول های مرده و وجود هرگونه باقی مانده سلولی، مایع رویی به ترتیب به مدت ۲۰ دقیقه در دور ۲۰۰۰xg و ۳۰ دقیقه در دور ۱۰۰۰۰xg سانتریفوژ شد. پس از عبور از فیلتر ۰/۲۲ میکرونی، از اولتراسانتریفوژ (Beckman Coulter، آلمان) با دور ۱۰۰/۰۰۰xg و به مدت ۷۰ دقیقه به منظور رسوب دادن اگزوژوم ها استفاده شد. رسوب اگزوژومی در PBS حل شد و به منظور حذف آلودگی پروتئینی، سوسپانسون اگزوژومی به طور مجدد در دور ۱۰۰/۰۰۰xg و به مدت ۷۰ دقیقه

ارزیابی فلوسایتمتری نشانگرهای سطحی سلول های بنیادی مزانشیمی

به منظور بررسی فلوسایتمتری نشانگرهای سطحی سلول های بنیادی مزانشیمی، سلول ها از کف پلیت تریپسینه شدند، پس از سانتریفوژ و شستشو با Phosphate Buffered Saline (PBS)، میزان ۱۰۰ میکرولیتر سوسپانسیون سلولی با ۱۰ میکرولیتر از آنتی بادی های اولیه CD73، CD90 و FITC (Phycoerythrin) PE و CD34 (Fluorescein isothiocyanate) به همراه ایزو تایپ های مربوط به آنها افزوده و به مدت ۳۰ دقیقه در دمای ۴ درجه سانتی گراد و شرایط تاریکی انکوبه شدند. سوسپانسیون سلولی پس از شستشو با PBS و سانتریفوژ با دستگاه فلوسایتمتری تجزیه و تحلیل شد.

ارزیابی توانایی تمايز چند رده ای سلول های بنیادی مزانشیمی

به منظور تأیید بیشتر هویت سلول های بنیادی مزانشیمی، توانایی تمايز چند رده ای آنها به سلول های سازنده استخوانی (استئوژنیک: Osteogenic) و سازنده چربی (ادیپوژنیک: Adipogenic) بررسی شد. به منظور تمايز به استخوان و تأیید معدنی شدن، سلول ها در مرحله کشت سلولی سوم با تعداد ۷۰ هزار در چاهک های پلیت ۶ خانه در حضور محیط Dulbecco's Modified Eagle's (DMEM) کشت شدند. سپس محیط کشت تمايزی حاوی ۵۰ میکروگرم (Fetal bovine serum) FBS ۱۰ درصد (Medium) حاوی ۱۰ درصد (FBS) میکروگرم در میلی لیتر آسکوربیک اسید ۲-فسفات، ۱۰ نانومولار دگراماتازون و ۱۰ میلی مولار بتا-گلیسرول فسفات جایگزین شد. کشت تمايزی به مدت ۲۱ روز انجام و هر سه روز یک بار محیط کشت تعویض شد و در پایان این مدت وقوع تمايز با رنگ آمیزی آلیزارین رد (Alizarin red) ارزیابی شد.

ساعت در دمای اتاق انجام شد. پس از آن، غشا با آنتی‌بادی اختصاصی علیه CD9 (Abcam ab92726، آمریکا) به مدت ۵ ساعت و آنتی‌بادی ثانویه متصل به HPR (Horseradish Peroxidase) به مدت یک ساعت انکوبه شد. عالیم توسط کیت ECL (Enhanced chemiluminescence) شناسایی شد.

نشان‌دار نمودن اگزوژوم‌ها توسط رنگ فلورسنت قرمز PKH26

اگزوژوم‌های استخراج شده توسط کیت نشانه‌گذاری رنگ فلورسنت قرمز PKH26 (Sigma، آمریکا) مطابق دستورالعمل سازنده و با انجام تغییرات محدودی نشانه‌گذاری شد. به طور خلاصه، میزان ۱ میلی‌لیتر از Diluent که توسط کیت فراهم می‌شود به رسوب اگزوژومی افزوده شد. محلول رنگ‌آمیزی شامل ۴ میکرولیتر از رنگ PKH به توسط Diluent C به حجم ۱ میلی‌لیتر رسانده شد به سوسپانسیون اگزوژومی افزوده و به مدت ۵ دقیقه در دمای اتاق انکوبه شد. به منظور توقف واکنش نشان‌دار شدن، میزان ۱۰ میلی‌لیتر محیط کامل به سوسپانسیون افزوده شد. برای رسوب‌گذاری اگزوژوم‌های نشان‌دار شده از محلول میلی‌لیتر سوسپانسیون اگزوژومی به ۲/۴ میلی‌لیتر محلول PEG استفاده شد. سوسپانسیون حاصل به مدت ۱۴ ساعت در دمای ۴ درجه سانتی‌گراد (Cold room) همراه با لرزش (Shaking) انکوبه شد. پس از انجام سانتریفیوژ مدت ۳۰ دقیقه در دوره ۱۵۰۰۰ xg در دمای ۴ درجه سانتی‌گراد، رسوب اگزوژوم نشان‌دار شده در PBS حل شد. در انتهای سلول‌های هدف توسط اگزوژوم‌های نشان‌دار شده به مدت ۱۲ ساعت تیمار شد. پس از جایگزینی محیط رویی سلول‌ها و شستشو با PBS جذب سلولی اگزوژوم‌های نشان‌دار توسط میکروسکوپ فلورسنت (Olympus CKX41، ژاپن)

سانتریفیوژ شد. رسوب اگزوژومی در PBS حل شد و در دمای ۲۰ درجه سانتی‌گراد نگهداری شد.

میکروسکوپ الکترونی نگاره

به منظور بررسی میکروسکوپ الکترونی نگاره (Scanning electron microscopy: SEM) از اگزوژوم تخلیص شده، توسط گلوتارآلدهید ۲/۵ درصد شیبت و با PBS شستشو شد. سپس نمونه توسط اتانول آب‌گیری و روی سطح شیشه‌ای خشک و با لایه نازکی از طلا پوشانده شد. اندازه و شکل ظاهری اگزوژوم‌ها توسط میکروسکوپ الکترونی نگاره KYKY-Digital SEM M3200 (چین) ارزیابی شد.

سنجهش تفرق دینامیکی نور

یکی از روش‌های آنالیز نانو ذرات، روش سنجهش تفرق دینامیکی نور (Dynamic light scattering measurement: DLS) است که توانایی اندازه‌گیری ذرات در داخل محلول را به صورت سریع، ساده و بدون نیاز به آماده‌سازی نمونه، دارد. برای این منظور اگزوژوم‌های استخراج شده به کمک PBS به حجم ۳۰۰ میکرولیتر رسانده شد. پس از تکانه شدید محلول، سنجهش سایز اگزوژوم‌ها توسط دستگاه Zetasizer Nano (Malvern Instruments، آمریکا) انجام شد.

لکه‌گذاری و سترن

پروتئین تام با استفاده از بافر RIPA- SDS-Precipitation Assay Sodium Dodecyl Sulfate- Polyacrylamide (PAGE Gel Electrophoresis) روی ژل ۱۲/۵ درصد جداسازی شد. سپس لکه‌ها روی غشای پیتروسلولزی انتقال یافت و مهار واکنش‌های غیر اختصاصی توسط انکوباسیون غشا در محلول مسدود کننده (Blocking solution) به مدت ۲

بررسی تنوع ژنتیکی ویروس پاپیلومای انسانی

استخوانی و چربی تمایز داده شدند و نتایج آن بررسی شد. در این راستا، پس از کشت سلول‌های بنیادی مزانشیمی مشتق از مغز استخوان انسان در محیط‌های تمایزی ویژه به سمت چربی و استخوان، رنگ‌آمیزی با رنگ‌های Oil Red O (برای تأیید تمایز به چربی) و آلیزارین رد (برای تأیید معدنی شدن و تمایز به استخوان) مشاهدات میکروسکوپی انجام شد. همان‌گونه که در شکل ۳ الف ملاحظه می‌شود، سلول‌های بنیادی مزانشیمی در گروه کترول ظاهری متقارن و دوکی شکل (شبه فیربلاست) دارند. این در حالی است که سلول‌های بنیادی مزانشیمی در محیط تمایزی ویژه به سمت چربی، پس از تمایز، شبک ظاهری سلول‌های آدیپوسیت (Adipocyte) را به خود گرفته و همان‌طور که در شکل ۳ ب نیز مشخص است پس از رنگ‌آمیزی Oil Red O دانه‌های قرمز حاوی تجمع لبیدها را در داخل سلول‌های آدیپوسیت Oil Red O نشان می‌دهند. شایان ذکر است که رنگ Oil تری‌گلیسریدها (وزیکول‌های چربی داخل سلولی) را رنگ‌آمیزی می‌کند و سلول‌های آدیپوسیت را مشخص می‌سازد. همچنین کشت سلول‌های بنیادی مزانشیمی در محیط تمایزی ویژه به سمت استخوان پس از رنگ‌آمیزی با آلیزارین قرمز، رسوب کلسیم در محیط کشت را نشان داد که تأیید کننده تمایز استئوبلاستی است (شکل ۳ ج).

ارزیابی شد.

نتایج

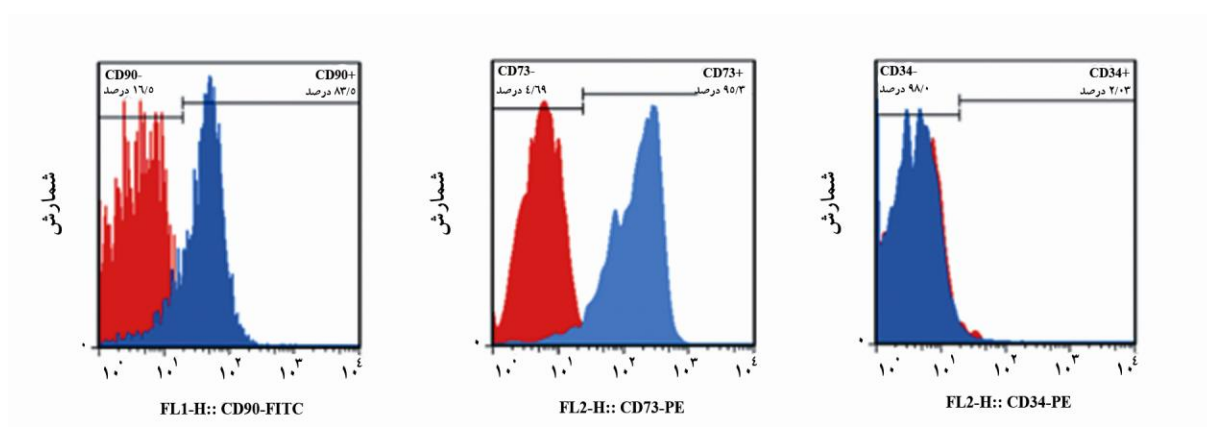
فلوسایتومتری نشانگرهای سطحی سلول‌های بنیادی مزانشیمی

نتایج فلوسایتومتری برای نشانگرهای سطحی CD90 و CD73 به عنوان نشانگرهای شاخص سلول‌های بنیادی مزانشیمی و نشانگر CD34 به عنوان نشانگرهای سلول‌های خونی مشتق از مغز استخوان در شکل ۲ مشخص است. آنالیز فلوسایتومتری بیان مثبت نشانگرهای سطحی CD90 ۸۳/۵ درصد و CD73 ۹۵/۳ درصد را برای سلول‌های بنیادی مزانشیمی نشان داد. بیان اندک آنتی‌ژن CD34 ۲۰/۳ درصد نشان دهنده عدم آلدگی سلول‌های جداسازی شده با سلول‌های خونی مشتق از مغز استخوان است.

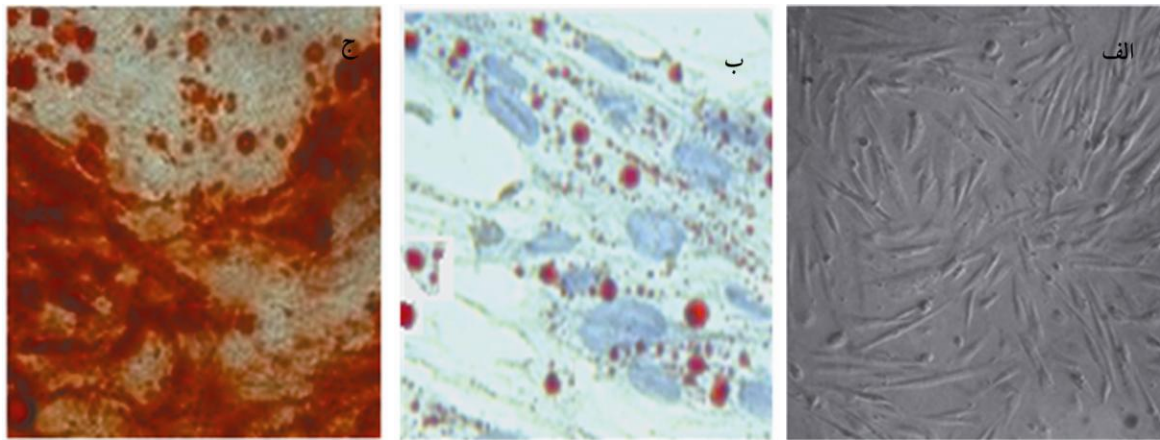
قابلیت تمایز چند رده‌ای سلول‌های بنیادی

مزانشیمی

به منظور تأیید بیشتر در زمینه درستی سلول‌های بنیادی مزانشیمی جدا شده از مغز استخوان، این سلول‌ها به رده‌های



شکل ۲ آنالیز فلوسایتومتری به منظور تأیید هویت سلول‌های بنیادی مزانشیمی؛ آنالیز فلوسایتومتری بیان مثبت نشانگرهای سطحی CD90 و CD73 و فقدان بیان آنتی‌ژن CD34 را برای سلول‌های بنیادی مزانشیمی نشان داد که نشانگر درستی جداسازی سلول‌های بنیادی مزانشیمی از مغز استخوان است.



شکل ۳ تمايز چند رده‌ای سلول‌های بنیادی مزانشیمی. تمايز آپیوژنیک و تمايز استئوژنیک تایید کننده درستی سلول‌های بنیادی مزانشیمی جداسازی شده و قابلیت تمايز چند رده‌ای آن‌ها است. شکل (الف): سلول‌های بنیادی مزانشیمی را در مرحله کشت سلولی سوم با ظاهری متقارن و دوکی شکل (شبه فیبروبلاست) نشان می‌دهد؛ در شکل (ب) سلول‌های تمايز یافته به چربی به رنگ قرمز مشخص است و واکول‌های چربی در آن‌ها دیده می‌شود. در شکل (ج) رنگ قرمز نشانه معدنی شدن و تمايز به استخوان است.

بررسی اگزوژوم‌های جداسازی شده توسط سنجش DLS

اندازه اگزوژوم‌ها توسط بررسی DLS ارزیابی شد. سنجش توزیع تعداد توسط DLS نقطه اوج (Peak) حدوداً ۸۰ نانومتری را برای جمعیت اگزوژوم‌های جداسازی شده نشان داد (شکل ۵).

بررسی اگزوژوم‌های جداسازی شده توسط آنالیز وسترن بلاط

پرتوئین‌هایی که روی لایه غشایی خارجی اگزوژوم‌ها قرار دارند، به عنوان نشانگرهای شناسایی آن‌ها به کار می‌روند. عمومی‌ترین نشانگرها در این زمینه نشانگرهای خانواده ترالاپین شامل CD9، CD63، CD81 و CD82 هستند که با کمک روش وسترن بلاط (Western blot) برای تأیید ماهیت اگزوژوم‌ها شناسایی می‌شوند. در این مطالعه، به منظور تعیین ماهیت اگزوژوم‌های جداسازی شده،

تأیید درستی اگزوژوم‌های مشتق از سلول‌های بنیادی مزانشیمی

به منظور بررسی درستی هویت اگزوژوم‌های مشتق از سلول‌های بنیادی مزانشیمی، ابتدا اگزوژوم‌ها از محیط کشت سلول‌های بنیادی مزانشیمی توسط روش پیش گفته جداسازی شدند. تأیید درستی هویت اگزوژوم‌ها توسط روش‌هایی که اندازه، شکل ظاهری و بیان نشانگرهای سطحی ویژه اگزوژوم را ارزیابی می‌نماید، به صورت زیر انجام شد.

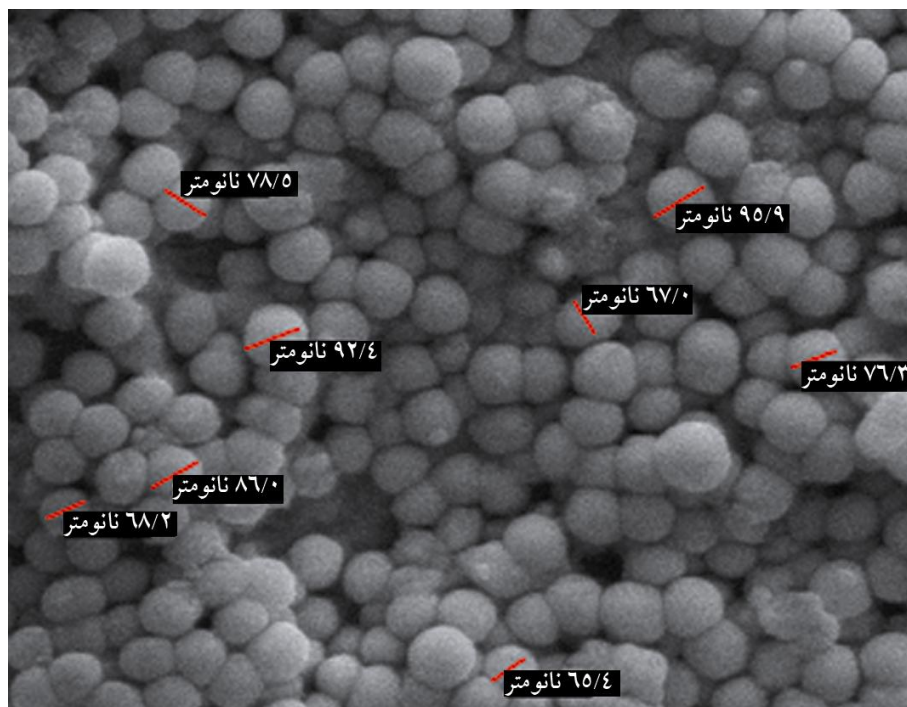
بررسی اگزوژوم‌های جداسازی شده توسط میکروسکوپ الکترونی نگاره

اگزوژوم‌ها ذراتی کروی شکل با دو لایه لیپیدی هستند که اندازه‌ای بین ۳۰ الی ۱۰۰ نانومتر دارند. اندازه و شکل ظاهری اگزوژوم‌ها توسط بررسی SEM ارزیابی شد. نتایج نشان داد اگزوژوم‌های جداسازی شده دارای ظاهری کروی با دامنه اندازه بین ۶۰ الی ۱۰۰ نانومتر هستند (شکل ۴).

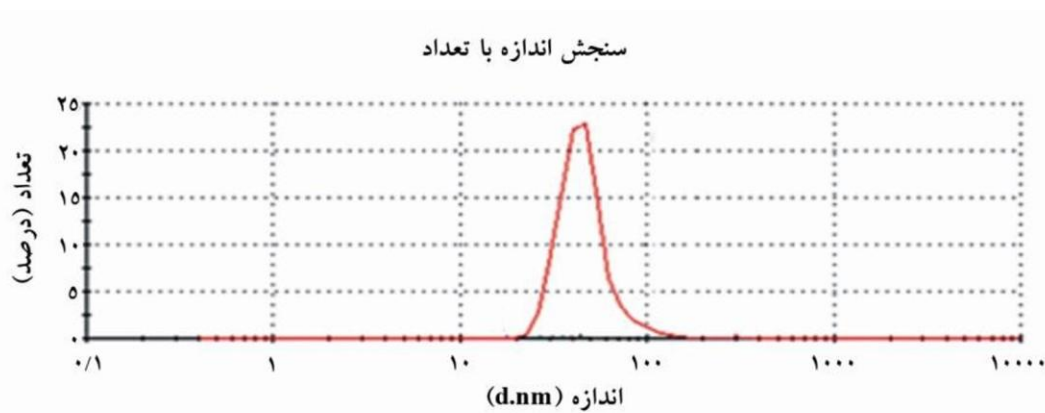
بررسی تنوع ژنتیکی ویروس پاپیلومای انسانی

می شود، اگزوزوم های جداسازی شده پروتئین CD9 را بیان می کند.

سطوح بیان نشانگر ویژه اگزوزومی (CD9) توسط وسترن بلات ارزیابی شد. همان گونه که در شکل ۶ ملاحظه



شکل ۴ میکروگراف های SEM از اگزوزوم های جداسازی شده، ذرات کروی محصور شده با غشا با دامنه اندازه ۶۰ الی ۱۰۰ نانومتر را نشان می دهد.



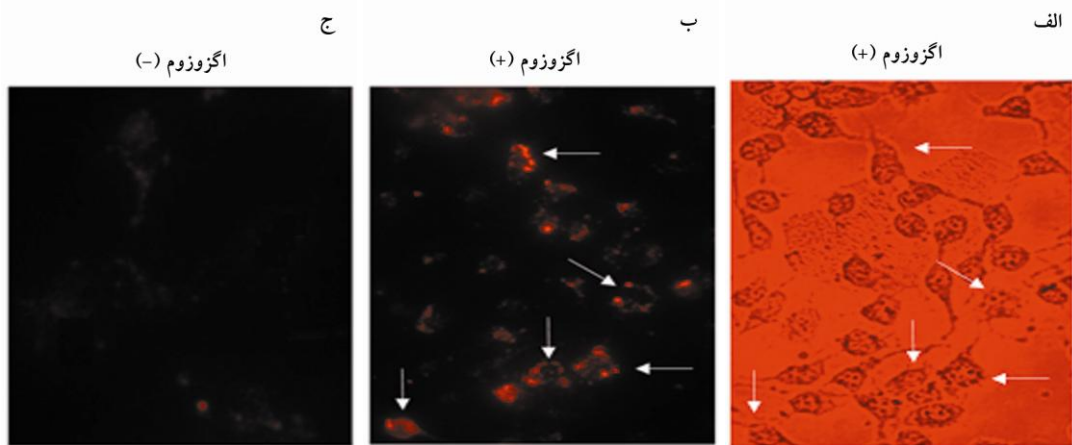
شکل ۵ سنجش اندازه اگزوزوم ها توسط DLS، توزیع اندازه زنگوله ای شکل با نقطه اوج حدود ۸۰ نانومتری را نشان داد.

بررسی ورود سلولی اگزوژوم‌های مشتق از سلول‌های بنیادی مزانشیمی

به منظور تعیین قابلیت اگزوژوم‌های مشتق از سلول‌های بنیادی مزانشیمی در ورود به سلول‌های پذیرنده، اگزوژوم‌های نشان‌دار شده با رنگ فلورسنت PKH26 با سلول‌های توموری تخدمان شده با رنگ فلورسنت SKOV3 به مدت ۱۲ ساعت انکوبه شدند. آنالیز میکروسکوپ فلورسانس نشان داد که اگزوژوم‌های نشان‌دار شده با رنگ فلورسنت PKH26 در سیتوپلاسم سلول‌های توموری مکان‌یابی می‌شوند (شکل ۷). این امر نشان‌گر قابلیت جذب اگزوژوم‌های مشتق از مغز استخوان توسط سلول‌های توموری است.



شکل ۶ آنالیز وسترن بلات نشان‌گر اگزوژومی CD9 در اگزوژوم‌های مشتق از سلول‌های بنیادی مزانشیمی. بیان نشان‌گر ویژه اگزوژومی (CD9) در اگزوژوم‌های مشتق از سلول‌های بنیادی توسط وسترن بلات شناسایی شد.



شکل ۷ بررسی قابلیت جذب اگزوژوم‌های مشتق از سلول‌های بنیادی مزانشیمی توسط سلول‌های توموری؛ جذب سلولی اگزوژوم‌های نشان‌دار شده و نور فلورسنت قرمز (ب) در مقایسه با نمای مرئی سلول‌ها (الف) نشان داده شده است. نور فلورسنت قرمز در سیتوپلاسم سلول‌های توموری نشانه آن است که مقادیر قابل توجهی از اگزوژوم‌های مشتق از سلول‌های بنیادی مزانشیمی توسط سلول‌های توموری جذب شده‌اند. همچنین سلول‌های توموری با رنگ PKH26 در غیاب اگزوژوم به عنوان کنترل منفی انکوبه شدند تا از عدم ورود رنگ تنها به داخل سلول‌های توموری اطمینان حاصل شود (ج).

این راستا، در دهه گذشته گزارش‌های متناقضی در زمینه آثار پیش‌برنده یا سرکوب‌گر توموری سلول‌های بنیادی مزانشیمی ارایه شده است [۱۴-۱۶]. با وجود این که مطالعات متعدد اشاره به نقش پیش‌برنده‌گی سلول‌های بنیادی مزانشیمی در تومورزاگی دارد، مطالعات دیگری نیز وجود دارد که اشاره به آن دارد که سلول‌های بنیادی مزانشیمی پیشرفت تومور را

بحث

اگرچه به کارگیری سلول‌های بنیادی مزانشیمی در میکرومحیط تومور علاقمندی زیادی در چگونگی عملکرد این سلول‌ها در تکوین تومور ایجاد نموده است، مکانیسم دقیقی که در آن سلول‌های بنیادی مزانشیمی با سلول‌های توموری برهم کش دارند به خوبی شناسایی نشده است. در

بررسی تنوع ژنتیکی ویروس پاپیلومای انسانی

جدیدی در زمینه کاربردهای درمانی این سلول‌ها در پزشکی بازساختی (Regenerative medicine) ایجاد نموده است. با جایگزینی اگزوژوم‌های مشتق از سلول‌های بنیادی مزانشیمی به جای کاربرد مستقیم خود این سلول‌ها، بسیاری از مسایل و نگرانی‌های مرتبط با اینمی و محدودیت‌های پیوند سلول‌ها از بین می‌رود. به عنوان مثال، استفاده از سلول‌های تکثیرشونده به عنوان عامل درمانی این خطر را به همراه دارد که توانایی زیستی آن طی زمان بیش از حد تشدید یابد و پایدار باقی بماند و پس از آن که درمان خاتمه یافته، آثار آن تخفیف نیابد. این موضوع به ویژه اگر قرار باشد درمان به علت بروز نتیجه‌ای ناهنجار خاتمه یابد، می‌تواند نتیجه‌ای وخیم به همراه داشته باشد. علاوه بر از بین رفتن خطر را مرتبط با پیوند سلولی (Cell transplantation)، اگزوژوم‌ها می‌توانند برخی چالش‌های استفاده از عوامل زیستی کوچک و محلول نظری عوامل رشد، کموکاین‌ها، سایتوکاین‌ها، عوامل رونویسی، ژن‌ها و RNA‌ها را نیز از بین ببرد. انتقال (Delivery) این عوامل به سلولی که باید به آن وارد شوند یا انتقال به اندام خاصی از سلول در حالی که پایداری، تمامیت و توانایی زیستی‌شان حفظ شود، چالشی پر هزینه است. همانند یک وزیکول غشایی دولایه لبیدی، اگزوژوم نه تنها توانایی حمل یک محموله بزرگ را دارد، بلکه محتواخود را از اثر عملکرد آنزیم‌های تخریبی و مواد شیمیابی حفظ می‌نماید. به عنوان مثال، پروتئین‌ها و RNA‌ها در اگزوژوم‌های سلول‌های بنیادی مزانشیمی مادامی که غشای لبیدی وجود دارد، در مقابل آنزیم‌هایی نظیر تریپسین (Trypsin) و RNase حفاظت می‌شوند [۲۴-۲۶].

اگزوژوم‌ها همچنین جذب RNA‌ها و پروتئین‌های درمانی را به سلول آسیب‌دیده تسهیل می‌نمایند. اگرچه جذب سلولی اگزوژوم به واسطه اندوسیتوز و ادغام غشایی رخ می‌دهد، مکانیسمی که با آن این فرآیندها تنظیم می‌شود نیاز به بررسی‌های بیشتری دارد. در این راستا مشاهده شده است که کارآیی جذب اگزوژوم ارتباط مستقیمی با اسیدیته درون

مهار می‌نمایند [۱۷-۱۹]. به نظر می‌رسد این تنافض می‌تواند ناشی از مواردی نظری نوع تومور، مدل توموری (مدل بررسی in vitro یا in vivo، ناهمگونی عملکردی سلول‌های بنیادی مزانشیمی (به عنوان مثال: سلول‌های بنیادی مزانشیمی مشتق از مغز استخوان در مقابل سلول‌های بنیادی مزانشیمی مشتق از بافت (Timing) نظری بافت چربی)، دوز (Dosage) یا زمان‌بندی (Dosage) سلول‌های بنیادی مزانشیمی تزریق شده، احتمال دخالت مکانیسم‌هایی نظری پیام‌رسانی کموکاینی (Chemokine)، حمایت عروقی (Vascular support) و تعديل ایمنی (Immune modulation) باشد [۲۰].

ترشح اگزوژوم‌ها توسط سلول‌های بنیادی مزانشیمی به عنوان مکانیسمی نوین در زمینه چگونگی عملکرد پاراکراین (Paracrine) این سلول‌ها در میکرومحیط تومور مطرح است. نقش اگزوژوم‌های مشتق از سلول‌های بنیادی مزانشیمی ابتدا در سال ۲۰۱۰ و در مدل موشی آسیب قلبی [۲۱] و پس از آن در سایر مدل‌های بیماری بررسی شد. سلول‌های بنیادی مزانشیمی مقادیر قابل توجهی از میکروزویکول‌ها و اگزوژوم‌ها را ترشح می‌کنند. این اگزوژوم‌ها حاوی mRNA مختلفی با ویژگی‌های عملکردی و همچنین الگوی ویژه‌ای از microRNA‌ها می‌باشند. این اسیدهای نوکلئیک می‌توانند از طریق اگزوژوم‌ها به سلول‌های پذیرنده وارد و از این راه تغییرات عملکردی و فنوتیپی را در آن سلول‌های بنیادی ممکن است آثار زیستی‌شان را با انتقال اطلاعات ژنتیکی و تغییر در بیان ژن‌های سلول هدف به واسطه انتقال اگزوژومی mRNA‌ها و miRNA‌ها انجام دهند. بنابراین اگزوژوم ممکن است با حمل الگوهای ویژه‌ای از پروتئین‌ها، لبیدهای نوکلئیک به سلول‌های پذیرنده به عنوان عوامل پاراکراین بالقوه در پیام‌رسانی میان سلول‌های بنیادی و سلول‌های تمایز یافته عمل نماید [۲۲، ۲۳].

فرضیه عملکرد پاراکراین سلول‌های بنیادی مزانشیمی بعد

جداسازی اگزوژوم‌ها استفاده می‌نماید. در این زمینه، شرکت System Biosciences (آمریکا) واکنش‌گری اختصاصی با نام تجاری ExoQuick از ارایه داده است که توانایی رسوب‌گذاری اگزوژوم از محیط کشت، سرم، پلاسمما و سایر مایعات بدن را دارد. با این حال آلدودگی اگزوژوم‌های جdasازی شده با سایر مولکول‌ها مشکلی عمدۀ در این گونه روش‌های جdasازی (Polymer-based isolation methods) مبتنی بر پلیمر است که می‌تواند تداخلاتی در آزمایش‌های بعدی ایجاد نماید [۳۳]. به نظر می‌رسد هر کدام از روش‌های جdasازی مزايا و معایب خود را داشته باشد؛ بنابراین هنگام انتخاب استراتژی تخلیص در یک آزمایش مشخص، ممکن است استفاده ترکیبی از دو روش (جداسازی براساس صاف کردن پیش از انجام اولتراسانتریفوژ یا کروماتوگرافی) ایده‌آل باشد [۳۱].

در این مطالعه، سلول‌های بنیادی مزانشیمی پس از جdasازی از مغز استخوان کشت داده و تأیید هویت شدند. همچنین در مطالعه حاضر از روشی استفاده شد که در آن راهکاری کارآمد مبتنی بر استفاده از سانتریفوژ افتراقی و صاف کردن پیش از انجام اولتراسانتریفوژ برای جdasازی اگزوژوم‌ها از محیط کشت سلول‌های بنیادی مزانشیمی ارایه شد. کارآمدی روش ارایه شده برای جdasازی اگزوژوم‌ها توسط روش‌هایی که اندازه، شکل ظاهری و بیان نشانگرهای سطحی ویژه اگزوژوم را ارزیابی می‌نماید، برسی شد. یافته‌های مطالعه حاضر نشان داد اگزوژوم‌های مشتق از سلول‌های بنیادی مزانشیمی وزیکول‌های کروی با دامنه اندازه‌ای ۳۰ الی ۱۰۰ نانومتر هستند و نشانگر ویژه اگزوژومی یعنی CD9 را در سطح خود بیان می‌نماید. در ادامه یکی از چالش‌های پیش رو قابلیت جذب سلولی اگزوژوم‌ها است. در این راستا، سلول‌های توموری تخدمان با اگزوژوم‌های نشاندار شده با رنگ فلورسنت PKH26 تیمار شدند. روند نشاندار شدن به واسطه واکنش رنگ لیپوفیل با غشای اگزوژومی انجام می‌شود. شدت نشاندار شدن به دو عامل غلظت رنگ و غلظت اگزوژوم بستگی دارد. نشاندار شدن

سلول و میکرومحیط آن دارد [۲۷-۲۹]. با وجود این که اندازه اگزوژوم‌ها از یک سلول کوچک‌تر است موجودیت زیستی پیچیده‌ای به واسطه حضور پروتئین‌ها و RNA‌های درونشان دارد و این ویژگی، آن‌ها را به عنوان کاندیدای درمانی ایده‌آل برای درمان آسیب‌های نظیر آسیب‌های قلبی، التهاب یا سرطانی مطرح می‌نماید [۲۵].

تاکنون استراتژی‌های مختلفی برای جdasازی اگزوژوم‌ها مطرح شده است. یکی از روش‌های قابل قبول برای جdasازی اگزوژوم‌ها استفاده از اولتراسانتریفوژ است. این روش اگزوژوم‌های نسبتاً زیادی را رسوب می‌دهد و قابلیت افزایش تناسب (Scale up) دارد. هرچند ممکن است اگزوژوم جdasازی شده با مولکول‌های زیستی دیگر نظری پروتئین‌ها آلدودگی داشته باشد و تجمعات اگزوژومی (Aggregates) ایجاد شود. پیشنهاداتی وجود دارد که استفاده از اولتراسانتریفوژ همراه با شیب چگالی سوکروز اگزوژوم‌های خالص‌تری عاری از هرگونه آلدودگی و تجمعات ایجاد نماید. با این حال آلدودگی نهایی اگزوژوم‌ها با سوکروز Gradient به عنوان واکنش‌گر ایجاد کننده شیب غلظت (reagent) ممکن است تداخلاتی در زمینه مطالعه عملکرد اگزوژوم‌ها ایجاد نماید [۳۰، ۳۱]. در سال ۲۰۰۷ چرووانکی (Cheruvandy) و همکارانش [۳۲] جdasازی اگزوژوم‌ها را بر اساس روش‌های مبتنی بر اولترافیلتراسیون انجام دادند که در مقایسه با روش اولتراسانتریفوژ زمان کمتری را صرف می‌نماید و نیازی نیز به تجهیزات ویژه ندارد. همچنین در برخی از مطالعات از روش‌های مبتنی بر کروماتوگرافی مایع High-Performance Liquid با عملکرد بالا (Chromatography: HPLC) برای جdasازی اگزوژوم‌ها استفاده شده است. با این حال این روش نیازمند تجهیزات مرتبط بوده و امکان افزایش تناسب برای آن وجود ندارد [۲۱]. رسوب‌گذاری با پلیمرها نیز مزایایی نظیر جdasازی ملایم اگزوژوم‌ها در pH خشی دارد. برخی کیت‌های تجاری از پلی‌اتیلن گلیکول (Polyethylene glycol: PEG) برای

سرطان فراهم آورد.

تشکر و قدردانی

مطالعه حاضر بخشی از پایان نامه کارشناسی ارشد رشته ژئوکولوژی است که با پشتیبانی مالی دانشگاه تربیت مدرس و ستاد توسعه علوم و فناوری های سلول های بنیادی معاونت علمی و فناوری ریاست جمهوری (موافقت نامه ۱۱/۷۶۰۸۹) انجام شده است. نویسندها مراتب قدردانی خود را نسبت به معاونت محترم پژوهشی دانشگاه تربیت مدرس و همچنین معاونت علمی و فناوری ریاست جمهوری اعلام می دارند.

بیش از اندازه سبب ازین رفتار یکبارچگی غشا و کاهش بازیابی اگزوژن ها می شود. در این مطالعه مشخص شد سلول های توموری در پی تیمار اگزوژنی، قادر به جذب مقادیر قابل توجهی از اگزوژن های مشتق از سلول های بنیادی مزانشیمی بودند. در مجموع، روش ارایه شده در زمینه جداسازی اگزوژن ها و تأیید ماهیت و جذب آن ها توسط سلول های توموری تخدمان، گامی مهم و پیش نیاز در زمینه درک عملکرد پاراکراین سلول های بنیادی مزانشیمی در میکرومحیط تومور است. همچنین توانایی در مطالعه بیولوژی جذب اگزوژن ها توسط سلول های سرطانی می تواند فرصت های جدیدی در زمینه بررسی های عملکردی این نانوزیکول های طبیعی و محتویات آن ها در زمینه درمان

منابع

- [1] Nombela-Arrieta C, Ritz J, Silberstein LE. The elusive nature and function of mesenchymal stem cells. *Nat Rev Mol Cell Biol* 2011; 12(2): 126-31.
- [2] Curley GF, Ansari B, Hayes M, Devaney J, Masterson C, Ryan A, Barry F, O'Brien T, Toole DO, Laffey JG. Effects of intratracheal mesenchymal stromal cell therapy during recovery and resolution after ventilator-induced lung injury. *Anesthesiology* 2013; 118(4): 924-32.
- [3] Hall B, Andreeff M, Marini F. The participation of mesenchymal stem cells in tumor stroma formation and their application as targeted-gene delivery vehicles. *Handb Exp Pharmacol* 2007; (180): 263-83.
- [4] Schichor C, Birnbaum T, Etminan N, Schnell O, Grau S, Miebach S, Aboody K, Padovan C, Straube A, Tonn JC, Goldbrunner R. Vascular endothelial growth factor A contributes to glioma-induced migration of human marrow stromal cells (hMSC). *Exp Neurol* 2006; 199(2): 301-10.
- [5] Motavaf M, Pakravan K, Babashah S, Malekvandfar F, Masoumi M, Sadeghizadeh M. Therapeutic application of mesenchymal stem cell-derived exosomes: A promising cell-free therapeutic strategy in regenerative medicine. *Cell Mol Biol (Noisy-le-grand)* 2016; 62(7): 74-9.
- [6] Abounit S, Zurzolo C. Wiring through tunneling nanotubes--from electrical signals to organelle transfer. *J Cell Sci* 2012; 125(Pt 5): 1089-98.
- [7] Bobrie A, Colombo M, Raposo G, Théry C. Exosome secretion: molecular mechanisms and roles in immune responses. *Traffic* 2011; 12(12): 1659-68.
- [8] Mathivanan S, Fahner CJ, Reid GE, Simpson RJ. ExoCarta 2012: database of exosomal proteins, RNA and lipids. *Nucleic Acids Res* 2012; 40(Database issue): D1241-4.

- [9] Vlassov AV, Magdaleno S, Setterquist R, Conrad R. Exosomes: current knowledge of their composition, biological functions, and diagnostic and therapeutic potentials. *Biochim Biophys Acta* 2012; 1820(7): 940-8.
- [10] Yang C, Robbins PD. The roles of tumor-derived exosomes in cancer pathogenesis. *Clin Dev Immunol* 2011; 2011: 842849.
- [11] Tsao CR, Liao MF, Wang MH, Cheng CM, Chen CH. Mesenchymal Stem Cell Derived Exosomes: A New Hope for the Treatment of Cardiovascular Disease? *Acta Cardiol Sin* 2014; 30(5): 395-400.
- [12] Lai RC, Yeo RW, Lim SK. Mesenchymal stem cell exosomes. *Seminars in Cell & Developmental Biology* 2015; 40:82-8.
- [13] Théry C, Ostrowski M, Segura E. Membrane vesicles as conveyors of immune responses. *Nat Rev Immunol* 2009; 9(8): 581-93.
- [14] Djouad F, Plence P, Bony C, Tropel P, Apparailly F, Sany J, Noël D, Jorgensen C. Immunosuppressive effect of mesenchymal stem cells favors tumor growth in allogeneic animals. *Blood* 2003; 102(10): 3837-44.
- [15] Galiè M, Konstantinidou G, Peroni D, Scambi I, Marchini C, Lisi V, Krampera M, Magnani P, Merigo F, Montani M, Boschi F, Marzola P, Orrù R, Farace P, Sbarbati A, Amici A. Mesenchymal stem cells share molecular signature with mesenchymal tumor cells and favor early tumor growth in syngeneic mice. *Oncogene* 2008; 27(18): 2542-51.
- [16] Karnoub AE, Dash AB, Vo AP, Sullivan A, Brooks MW, Bell GW, Richardson AL, Polyak K, Tubo R, Weinberg RA. Mesenchymal stem cells within tumour stroma promote breast cancer metastasis. *Nature* 2007; 449(7162): 557-63.
- [17] Cousin B, Ravet E, Poglio S, De Toni F, Bertuzzi M, Lulka H, Touil I, André M, Grolleau JL, Péron JM, Chavoin JP, Bourin P, Pénicaud L, Casteilla L, Buscail L, Cordelier P. Adult stromal cells derived from human adipose tissue provoke pancreatic cancer cell death both in vitro and in vivo. *PLoS One* 2009; 4(7): e6278.
- [18] Khakoo AY, Pati S, Anderson SA, Reid W, Elshal MF, Rovira II, Nguyen AT, Malide D, Combs CA, Hall G, Zhang J, Raffeld M, Rogers TB, Stetler-Stevenson W, Frank JA, Reitz M, Finkel T. Human mesenchymal stem cells exert potent antitumorigenic effects in a model of Kaposi's sarcoma. *J Exp Med* 2006; 203(5): 1235-47.
- [19] Secchiero P, Zorzet S, Tripodo C, Corallini F, Melloni E, Caruso L, Bosco R, Ingrao S, Zavan B, Zauli G. Human bone marrow mesenchymal stem cells display anti-cancer activity in SCID mice bearing disseminated non-Hodgkin's lymphoma xenografts. *PLoS One* 2010; 5(6): e11140.
- [20] Klopp AH, Gupta A, Spaeth E, Andreeff M, Marini F 3rd. Concise review: Dissecting a discrepancy in the literature: do mesenchymal stem cells support or suppress tumor growth? *Stem Cells* 2011; 29(1): 11-9.
- [21] Lai RC, Arslan F, Lee MM, Sze NS, Choo A, Chen TS, Salto-Tellez M, Timmers L, Lee CN, El Oakley RM, Pasterkamp G, de Kleijn DP, Lim SK. Exosome secreted by MSC

- reduces myocardial ischemia/reperfusion injury. *Stem Cell Res* 2010; 4(3): 214-22.
- [22] Collino F, Deregibus MC, Bruno S, Sterpone L, Aghemo G, Viltno L, Tetta C, Camussi G. Microvesicles derived from adult human bone marrow and tissue specific mesenchymal stem cells shuttle selected pattern of miRNAs. *PLoS One* 2010; 5(7): e11803.
- [23] Mause SF, Weber C. Microparticles: protagonists of a novel communication network for intercellular information exchange. *Circ Res* 2010; 107(9): 1047-57.
- [24] Chen TS, Lai RC, Lee MM, Choo AB, Lee CN, Lim SK. Mesenchymal stem cell secretes microparticles enriched in pre-microRNAs. *Nucleic Acids Res* 2010; 38(1): 215-24.
- [25] Lai RC, Chen TS, Lim SK. Mesenchymal stem cell exosome: a novel stem cell-based therapy for cardiovascular disease. *Regen Med* 2011; 6(4): 481-92.
- [26] Mirotsou M, Jayawardena TM, Schmeckpeper J, Gnechi M, Dzau VJ. Paracrine mechanisms of stem cell reparative and regenerative actions in the heart. *J Mol Cell Cardiol* 2011; 50(2): 280-9.
- [27] Feng D, Zhao WL, Ye YY, Bai XC, Liu RQ, Chang LF, Zhou Q, Sui SF. Cellular internalization of exosomes occurs through phagocytosis. *Traffic* 2010; 11(5): 675-87.
- [28] Parolini I, Federici C, Raggi C, Lugini L, Palleschi S, De Milito A, Coscia C, Iessi E, Logozzi M, Molinari A, Colone M, Tatti M, Sargiacomo M, Fais S. Microenvironmental pH is a key factor for exosome traffic in tumor cells. *J Biol Chem* 2009; 284(49): 34211-22.
- [29] Tian T, Wang Y, Wang H, Zhu Z, Xiao Z. Visualizing of the cellular uptake and intracellular trafficking of exosomes by live-cell microscopy. *J Cell Biochem* 2010; 111(2): 488-96.
- [30] Zeringer E, Barta T, Li M, Vlassov AV. Strategies for isolation of exosomes. *Cold Spring Harb Protoc* 2015; 4: 319-23.
- [31] Xitong D, Xiaorong Z. Targeted therapeutic delivery using engineered exosomes and its applications in cardiovascular diseases. *Gene* 2016; 575(2 Pt 2): 377-84.
- [32] Cheruvandy A, Zhou H, Pisitkun T, Kopp JB, Knepper MA, Yuen PS, Star RA. Rapid isolation of urinary exosomal biomarkers using a nanomembrane ultrafiltration concentrator. *Am J Physiol Renal Physiol* 2007; 292(5): F1657-61.
- [33] Momen-Heravi F, Balaj L, Alian S, Mantel PY, Halleck AE, Trachtenberg AJ, Soria CE, Oquin S, Bonebreak CM, Saracoglu E, Skog J, Kuo WP. Current methods for the isolation of extracellular vesicles. *Biol Chem* 2013; 394(10): 1253-62.